

石应杰, 邓双, 杨丽, 等. 利用改性钒钛钢渣和飞灰吸附模拟烟气中的  $Hg^0$  [J]. 环境科学研究, 2015, 28(12): 1895-1901.

SHI Yingjie, DENG Shuang, YANG Li, et al.  $Hg^0$  removal from simulated flue gas with modified VTS and fly ash as adsorbents [J]. Research of Environmental Sciences, 2015, 28(12): 1895-1901.

## 利用改性钒钛钢渣和飞灰吸附模拟烟气中的 $Hg^0$

石应杰<sup>1,2</sup>, 邓 双<sup>2</sup>, 杨 丽<sup>1</sup>, 张 辰<sup>2</sup>, 曹 晴<sup>2</sup>, 张 凡<sup>2</sup>, 王红梅<sup>2\*</sup>

1. 中国矿业大学(北京)化学环境工程学院, 北京 100083

2. 中国环境科学研究院, 北京 100012

**摘要:** 固体废弃物钒钛钢渣(VTS)、飞灰(FA)含有Fe、V、Ti等可促进 $Hg^0$ 氧化吸附的过渡金属氧化物,为提高VTS吸附 $Hg^0$ 性能、改性FA的抗硫特性,利用蒸汽活化、浸渍 $FeCl_3$ 方法改性FA/VTS、FA/CaO,在固定吸附床上研究了不同改性方法、反应温度( $T$ )、烟气 $\rho(SO_2)$ 和 $\rho(HCl)$ 对 $\eta$ (吸 $Hg^0$ 效率)的影响。结果表明:蒸汽活化对提高 $\eta$ 的作用有限。经浸渍 $FeCl_3$ 方法改性的FA/VTS,其 $\eta$ 显著提高,在200℃下,吸附20 min时可达93%,吸附10 h后的Q(吸附容量)为0.42 mg/g;而浸渍 $FeCl_3$ 方法改性的FA/CaO,其 $\eta$ 随温度呈先升后降趋势,在120℃、吸附20 min时达到最高(74%)。 $SO_2$ 抑制 $Hg^0$ 的吸附,但FA/VTS的抗硫性能较FA/CaO有显著提高,具有低温抗硫吸附 $Hg^0$ 的潜势,可能与VTS中Ti的质量分数高有关。 $HCl$ 可促进 $Hg^0$ 的吸附,在 $\rho(HCl)$ 为30 mg/m<sup>3</sup>条件下,浸渍 $FeCl_3$ 方法改性的FA/VTS吸附2 h的 $\eta$ 在90%以上。研究表明,经 $FeCl_3$ 浸渍改性的FA/VTS是较好的 $Hg^0$ 吸附剂,具有实际应用的潜势。

**关键词:** 钒钛钢渣; 飞灰; 元素汞; 氧化钙; 吸附

中图分类号: X701

文章编号: 1001-6929(2015)12-1895-07

文献标志码: A

DOI: 10.13198/j.issn.1001-6929.2015.12.11

## $Hg^0$ Removal from Simulated Flue Gas with Modified VTS and Fly Ash as Adsorbents

SHI Yingjie<sup>1,2</sup>, DENG Shuang<sup>2</sup>, YANG Li<sup>1</sup>, ZHANG Chen<sup>2</sup>, CAO Qing<sup>2</sup>, ZHANG Fan<sup>2</sup>, WANG Hongmei<sup>2\*</sup>

1. School of Chemical Engineering & Technology, China University of Mining & Technology, Beijing 100083, China

2. Chinese Research Academy of Environmental Sciences, Beijing 100012, China

**Abstract:** As solid wastes, vanadium titanium steel slag (VTS) and fly ash (FA) contain transition metal oxides, such as Fe, V and Ti, which can promote the adsorption of  $Hg^0$ . To improve the ability of VTS to adsorb  $Hg^0$  and modify FA to resist sulfur, the methods of steam activation and  $FeCl_3$  impregnation were applied to modify FA/VTS and FA/CaO. A fixed bed was used to analyze the impacts by different modification methods under different conditions, such as reaction temperature,  $SO_2$  and HCl concentrations, on  $Hg^0$  adsorption. The results showed that the adsorption efficiency of FA/VTS modified by steam activation on  $Hg^0$  showed limited improvement. The adsorption efficiency of FA/VTS modified by  $FeCl_3$  impregnation improved significantly. When the temperature was lower than 200℃, the adsorption efficiency reached 93% after 20 min adsorption. The adsorption capability was 0.42 mg/g after 10 h adsorption. For FA/CaO adsorbent by  $FeCl_3$  impregnation, the adsorption efficiency increased first, then decreased, reaching 74% after 20 min adsorption at 120℃.  $SO_2$  inhibited the adsorption of  $Hg^0$ . Comparing the two modified adsorbents, the sulfur resistant properties of FA/VTS were improved greater than those of FA/CaO. FA/VTS had a sulfur resistant potential to absorb  $Hg^0$  at low temperatures; it might be associated with the high content of Ti in VTS. HCl in flue gas could promote the absorption of  $Hg^0$ . The  $Hg^0$  absorption efficiency of FA/VTS modified by  $FeCl_3$  impregnation was higher than 90% after 2 h adsorption, when 30 mg/m<sup>3</sup> HCl was added to the flue. FA/VTS modified by  $FeCl_3$  impregnation has the potential in practice to achieve sulfur resistance and  $Hg^0$  adsorption at a low temperature.

收稿日期: 2015-05-25 修订日期: 2015-08-27

基金项目: 国家高技术研究发展计划(863)项目(2013AA065001); 国

家环境保护公益性行业科研专项(201509012, 201309018)

作者简介: 石应杰(1972-), 男, 甘肃陇西人, 高级工程师, 硕士, 主要从事大气污染控制技术研究, shiae@ sina. com.

\* 责任作者, 王红梅(1969-), 女, 北京人, 副研究员, 主要从事大气污染控制技术研究, wanghm5188@ sina. com

**Keywords:** vanadium titanium steel slag; fly ash; elemental mercury; CaO; adsorption

燃煤是最大的化石燃料  $Hg$  污染源<sup>[1]</sup>。我国是燃煤大国,  $Hg$  的控制是燃煤污染防治的重要课题<sup>[2-3]</sup>。燃煤烟气  $Hg$  主要有  $Hg^0$  (气态单质汞)、 $Hg^{2+}$  (气态二价汞) 和  $Hg^p$  (颗粒吸附态汞) 3 种形式。由于  $Hg^0$

具有熔点低、平衡蒸汽压高、难溶于水等特点,更难以脱除,因此燃煤  $Hg^0$  的控制是防治重点。目前,燃煤烟气喷射吸附剂吸附  $Hg^0$  是更有效的方法,吸附剂主要为活性炭、钙基和飞灰及其改性物。活性炭主要为生物质活性炭<sup>[4,5]</sup>、鸡粪或火鸡粪<sup>[6]</sup>等,改性活性炭主要为浸卤化物<sup>[7-12]</sup>、负载贵金属等<sup>[13-14]</sup>。但因活性炭及改性喷射吸附  $Hg^0$  的价格高,并且因飞灰含碳量增加难以对其进行回收利用,因而利用钙基类吸附剂与飞灰混和改性吸附  $Hg^0$  成为了研究热点<sup>[15-25]</sup>。

为加强钙基与飞灰类物质对  $Hg^0$  的吸附,一方面可增加钙基与飞灰吸附  $Hg^0$  的活性区域<sup>[15-18]</sup>;另一方面,可在钙基与飞灰吸附剂中添加氧化性物质<sup>[19-21]</sup>。在增加吸附剂  $Hg^0$  活性区域的方面,以干法脱硫灰为吸收剂的吸附  $Hg^0$  的研究<sup>[15-16]</sup>表明,吸附剂中未燃尽炭、高比表面积对吸附  $Hg^0$  起着重要作用,烟气中的  $NO_2$ 、 $HCl$  和  $Cl_2$  可促进  $Hg^0$  的吸附,而  $SO_2$  和  $NO$  却抑制吸附<sup>[16]</sup>。蒸汽活化  $CaO$  与飞灰的混合物,其比表面积有显著增加,穿透时间(指  $Hg^0$  出口浓度占进口浓度 50% 的时间)从 23 min 增至 45 min<sup>[17]</sup>。稻壳灰和  $CaO$  混合浸渍 10%  $I_2$  后,在 140 ℃时  $Hg^0$  的脱除效率可达到 100%<sup>[18]</sup>。在添加氧化性物质方面,将飞灰和  $CaO$  按质量比 4:1 混合并分别添加 5%  $KMnO_4$  和  $NaClO_2$  制得的复合钙基吸附剂,其对烟气  $Hg^0$  10 min 吸附量从初始的 131.75 ng/g 分别增至 443.00 和 876.08 ng/g<sup>[19]</sup>,其中添加  $KMnO_4$  的高活性钙基吸附剂对  $Hg^0$  的脱除效率高于 98%<sup>[20-21]</sup>。在吸附剂中添加氯化物后,其对  $Hg^0$  的脱除效率可比普通钙基吸附剂增加约 30%<sup>[22]</sup>。以  $CuBr_2$ 、 $CuCl_2$ 、 $FeCl_3$  改性的飞灰可促进  $Hg^0$  的吸附,其中  $Cu^{2+}$  和  $Fe^{3+}$  可催化氧化  $Hg^0$ <sup>[23]</sup>, $Br$ 、 $Cl$  等可促进  $Hg^0$  的氧化吸附<sup>[24-26]</sup>。添加  $CaCl_2$  后,选择性催化还原脱硝(SCR)、布袋除尘与湿法脱硫协同对  $Hg^0$  的脱除效率从 75% 提高到 96%,而不添加  $CaCl_2$  的脱除效率仅为 18% ~ 32%<sup>[27]</sup>。

表 1 制备材料化学成分  
Table 1 Chemical compositions of the materials

吸附剂	w/%									
	CaO	SiO <sub>2</sub>	Fe <sub>2</sub> O <sub>3</sub>	Al <sub>2</sub> O <sub>3</sub>	MgO	MnO	TiO <sub>2</sub>	V <sub>2</sub> O <sub>5</sub>	未燃尽 C	其他
FA	3.27	49.59	6.45	31.64	0.65	—	1.49	—	2.15	4.76
VTS	38.91 <sup>1)</sup>	13.16	23.4	1.12	3.16	1.56	15.26	0.45	0.12	2.86

注: 1) 其中 w(游离 CaO) 为 1.47%。

FA 分别与  $CaO$ 、VTS 以 2:1(质量比,下同)混合均匀后制备吸附剂 FA/CaO 和 FA/VTS。将 FA/CaO、

研究<sup>[16,23,28]</sup>表明,烟气中  $SO_2$  和  $SO_3$  抑制钙基吸附剂吸附  $Hg^0$ ,但吸附剂或催化剂中掺杂的 Ce、Ti 等过渡金属不仅催化氧化  $Hg^0$ ,而且可显著提高抗硫性<sup>[29,34]</sup>。 $Fe$ -Mn 系尖晶石掺杂 Ti 制备的催化剂  $Fe_2Ti_{0.5}Mn_{0.5}O_4$  在 150 ℃、高浓度的  $SO_2$  烟气中对  $Hg^0$  的吸附容量可达 4.2 mg/g<sup>[29]</sup>。 $CeO_2(5)$ - $WO_3(9)$ / $TiO_2$  催化剂在  $\rho(SO_2)$  为 2 288 mg/m<sup>3</sup> 烟气中<sup>[30]</sup>,  $V_{0.80}$   $WTiCe_{0.25}$  催化剂在  $\rho(SO_2)$  为 1 430 mg/m<sup>3</sup>、 $\varphi(O_2)$  为 5% 的烟气中<sup>[31]</sup>,二者对  $Hg^0$  的脱除效率均较无  $SO_2$  的略有提高。 $SiTi_{18}V_5$  催化剂在  $\rho(SO_2)$  为 3 432 mg/m<sup>3</sup>、 $\varphi(O_2)$  为 20% 的烟气中,对  $Hg^0$  的脱除效率增至 32.61%,显著高于无  $SO_2$  时的脱除效率(11.95%)<sup>[32]</sup>。 $Co_6Mn_{30}Ti$  催化剂在 3 432 mg/m<sup>3</sup>、 $\varphi(O_2)$  为 20% 的烟气中,对  $Hg^0$  的氧化影响并不显著,而在  $\varphi(SO_2)$  为 5 720 mg/m<sup>3</sup> 时可显著抑制  $Hg^0$  的氧化<sup>[33]</sup>。 $SiO_2$ - $TiO_2$  在  $\rho(SO_2)$  为 3 432 mg/m<sup>3</sup> 的烟气中、在 UV 紫外照射下,其  $Hg^0$  脱除效率可达到 73%<sup>[34]</sup>。

VTS(钒钛钢渣)、FA(飞灰)作为固体废弃物,含有 Fe、V、Ti 等可促进  $Hg^0$  吸附的过渡金属氧化物,并且 VTS 中  $TiO_2$  含量较高,可提高  $Hg^0$  吸附的抗硫特性<sup>[29]</sup>。因此,该研究利用蒸汽活化、浸渍  $FeCl_3$  方法改性 FA/VTS,在固定吸附床上研究了改性方法、反应温度( $T$ )、烟气  $\rho(SO_2)$ 、 $\rho(HCl)$  对 FA/VTS 吸附  $Hg^0$  性能的影响,以期为改性抗硫 FA/VTS 吸附  $Hg^0$  的工业应用提供参考。

## 1 材料与方法

### 1.1 样品制备

钙基类吸附剂的制备材料为 VTS、FA 和  $CaO$ 。VTS 系含钒铁水在转炉内炼钢而排出的钢渣,来自攀枝花钢铁集团公司;FA 来自某电厂静电除尘器混合灰; $CaO$  纯度为 98%,购自北京试剂厂;改性剂  $FeCl_3 \cdot 6H_2O$ (含量不少于 99%)和溶剂丙酮(分析纯),均购自天津市福晨化学试剂厂。 $X$  射线荧光光谱仪分析的 VTS、FA 化学成分见表 1。

FA/VTS 在蒸汽中活化 30 min,100 ℃下干燥 1 h 即得蒸汽活化吸附剂。采用  $FeCl_3 \cdot 6H_2O$  改性 FA/CaO 和

FA/VTS 时,量取 4.8 g  $FeCl_3 \cdot 6H_2O$  于烧杯中,加入丙酮搅拌至完全溶解,随后在持续搅拌下分别缓慢加入 10.0 g FA/CaO 和 FA/VTS,并在常温下搅拌 2 h,然后将吸附剂放入烘箱,于 100 °C 下干燥制得  $w(Fe)$  为 10% 的改性吸附剂,研磨至 140 目 (109  $\mu m$ ) 后放入干燥皿中备用。

## 1.2 样品表征与模拟烟气分析

BET 比表面积测试采用 NOVA4000 仪 (美国康塔公司),通过氮气吸附-解吸等温线法测定。吸附气体为高纯氮,压力为 300 kPa。吸附剂多孔结构参数如表 2 所示。

表 2 吸附剂多孔结构参数

Table 2 Porous structure parameters of the adsorbents

吸附剂	BET 比表面积/( $m^2/g$ )	平均孔直径/nm
FA/CaO	2.42	15.59
FA/CaO-蒸汽	4.37	7.64
FA/CaO- $FeCl_3$	2.19	9.81
FA/VTS	2.33	18.18
FA/VTS-蒸汽	2.81	8.25
FA/VTS- $FeCl_3$	2.12	11.24

模拟烟气  $\rho(SO_2)$ 、 $\rho(O_2)$  采用 3012H 型自动烟气测试仪 (青岛崂应公司) 测定;  $\rho(Hg^0)$  采用 Lumex RA-915M + Zeeman (俄罗斯 Lumex-Marketing JSC 公司) 测定; 模拟烟气中  $Hg^{2+}$  吸收采用 Ontario Hydro 法,即模拟烟气依次经 3 个 1 mol/L KCl 溶液吸收瓶

吸收<sup>[27,35]</sup>;溶液中  $\rho(Hg^{2+})$  采用电感耦合等离子体质谱仪 (型号 7500a, 安捷伦科技有限公司) 分析, 分析时 RF(射频)发生器工作功率 1 370 W, 采样深度 6.7 mm, Ar 载气流量 0.67 L/min.

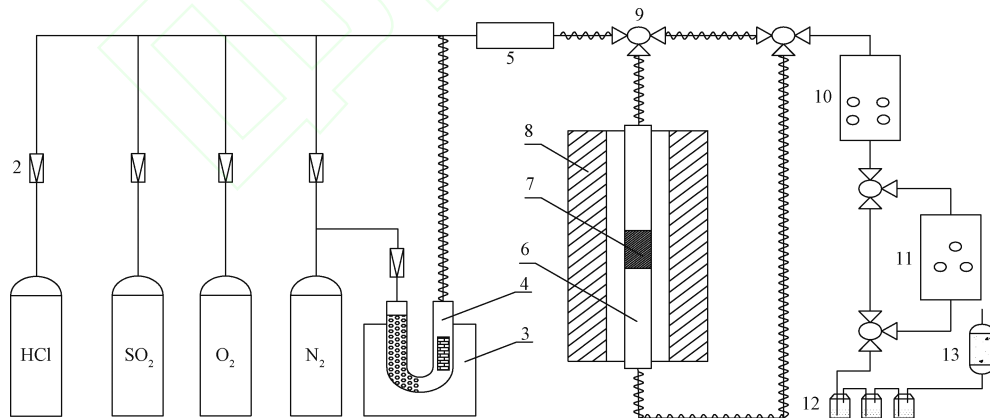
## 1.3 吸附试验系统

吸附试验系统由模拟烟气、反应和测试单元组成,如图 1 所示。模拟烟气成分为  $SO_2$ 、 $O_2$ 、 $HCl$ ,平衡气为  $N_2$ ,混合气体总流量为 1.2 L/min。试验中  $\varphi(O_2)$  为 6%; 抗硫特性试验中  $\rho(SO_2)$  分别为 3 140、1 480  $mg/m^3$ ; 在  $HCl$  对吸附效率的影响试验中,  $\rho(HCl)$  为 30  $mg/m^3$ 。 $Hg^0$  经水浴中的渗透管加热至 50 °C 挥发后,以  $N_2$  载入,与模拟烟气混合进入反应单元。反应单元为置于管式炉内的固定床石英反应管 (直径为 6 mm), 反应管中部放置石英棉, 石英棉上装载 0.3 g 吸附剂。测温热电偶控制管式炉温度, 反应温度分别为 70、120、200 °C。

$$\eta = (1 - \rho/\rho_0) \times 100\% \quad (1)$$

$$Q = \frac{1}{m} \left[ \int_{t_0}^{t_1} (\rho_0 - \rho) \times f \times d t - Q_1 \right] \quad (2)$$

式中:  $\eta$  为吸附剂的  $Hg^0$  吸附效率, %;  $\rho_0$ 、 $\rho$  分别为系统入口和出口  $\rho(Hg^0)$ ,  $\mu g/m^3$ ;  $Q$  为吸附剂在 600 min 时的  $Hg^0$  吸附容量,  $mg/g$ ;  $f$  为烟气流量,  $L/min$ ;  $t_0$  和  $t_1$  分别为吸附开始和终止时间,  $min$ ;  $Q_1$  为吸附剂在吸附 600 min  $Hg^0$  的  $Hg^{2+}$  排出量,  $mg$ 。



注: 1—气体钢瓶; 2—质量流量控制器; 3—恒温水槽; 4—U型管; 5—气体混合器; 6—吸附反应器; 7—吸附剂; 8—温控炉; 9—三通阀; 10—汞在线监测仪; 11—烟气分析仪; 12— $Hg^{2+}$ 吸收瓶; 13—尾气处理器。

图 1 吸附测试系统

Fig. 1 Schematic of testing facility

## 2 结果与讨论

### 2.1 蒸汽活化前后吸附剂对 $Hg^0$ 的吸附效率

在 120 °C、初始  $\rho(Hg^0)$  为 21.32  $\mu g/m^3$ 、 $\varphi(O_2)$  为 6% 条件下, 蒸汽活化前后吸附剂的  $\eta$  如图 2 所

示。从图 2 可知, FA/CaO 吸附 20 min 时的  $\eta$  为 25%, 而蒸汽活化后其  $\eta$  增至 35%, 提高显著。而 FA/VTS 蒸汽活化前后的  $\eta$  增加并不显著。

FA/CaO 蒸汽活化后, 其  $\eta$  的提高与比表面积增

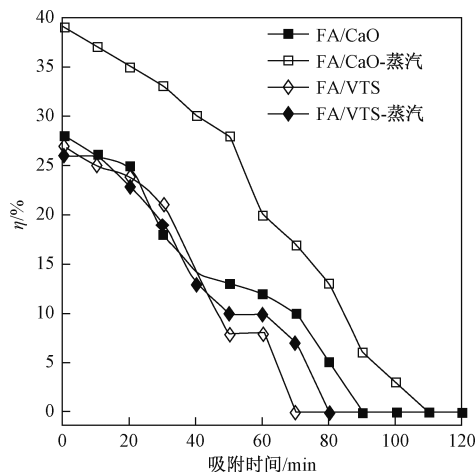
图 2 蒸汽活化前后吸附剂对 Hg<sup>0</sup> 的吸附效率

Fig. 2 The Hg<sup>0</sup> removal efficiency of adsorbents before and after steam activation

加有关。从表 1 可知, FA/CaO 蒸汽活化后的比表面积较活化前增加了 0.81 倍。这是由于在蒸汽活化过程中, 水蒸汽与 CaO 发生反应, 在生成 Ca(OH)<sub>2</sub> 过程中体积增大, 产生了更多的微孔, 使孔容积增加、比表面积提高, 因而其  $\eta$  有显著提高。但 FA/VTS 比表面积几乎无增加, 这与该吸附剂中存在的游离 CaO 有关。在 FA/CaO 中, CaO 均为游离 CaO, 而 FA/VTS 中的游离 CaO 仅占 1.47%, 因而在蒸汽活化过程中, FA/CaO 比表面积、孔容积较 FA/VTS 增幅更大, 因而其  $\eta$  更高。

分析图 2 可知, 蒸汽活化前的 FA/CaO、FA/VTS 的  $\eta$  相当, 究其原因, 这与 FA 类吸附剂吸附 Hg<sup>0</sup> 的关键因素——未燃尽碳 C 含量相关<sup>[23]</sup>。吸附剂中未燃尽碳 C 表面形成的 C—O、C=O 和 COO 官能团具有氧化性, 可吸附氧化 Hg<sup>0</sup>。从表 1 可知, 吸附剂 FA/CaO、FA/VTS 中的未燃尽碳 C 主要来自 FA, 因而二者的  $\eta$  基本一致。因此, 仅通过增加比表面积和物理吸附来提高  $\eta$  是有限的, 还需要进一步通过化学改性来提高  $\eta$ 。

## 2.2 FeCl<sub>3</sub> 浸渍改性吸附剂低温吸附 Hg<sup>0</sup> 的特性

为进一步提高吸附剂对 Hg<sup>0</sup> 的吸附效率, 研究了不同温度下 FeCl<sub>3</sub> 浸渍改性 FA/CaO、FA/VTS 对  $\eta$  的影响, 结果如图 3 所示。从图 3 可知, 经 FeCl<sub>3</sub> 浸渍改性的 FA/CaO、FA/VTS 的  $\eta$  均有显著提高。FeCl<sub>3</sub> 作为氧化剂促进了 Hg<sup>0</sup> 的氧化吸附<sup>[12,23]</sup>, 其氧化过程主要是氧化性活性物质 Cl<sup>\*</sup> 与 Hg<sup>0</sup> 作用, 并且 Fe<sup>3+</sup> 促进 Hg<sup>0</sup> 的氧化<sup>[23]</sup>。反应式:

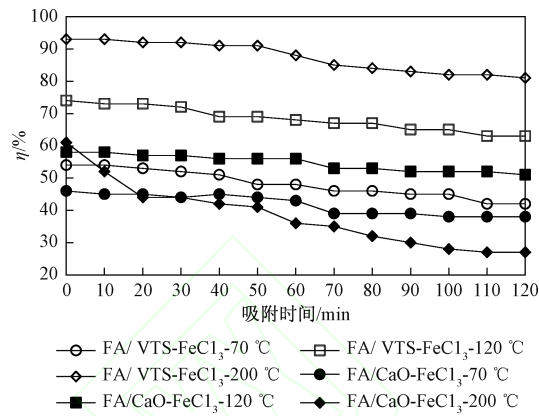
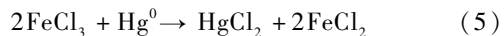
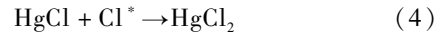
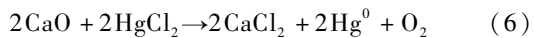


图 3 温度对 FeCl<sub>3</sub> 浸渍改性吸附剂对 Hg<sup>0</sup> 吸附效率的影响

Fig. 3 Effect of temperature on Hg<sup>0</sup> adsorption efficiency with adsorbents modified by FeCl<sub>3</sub>

从图 3 可知, 随着温度升高, 经 FeCl<sub>3</sub> 浸渍改性的 FA/VTS 的  $\eta$  显著升高, 吸附 20 min 时  $\eta$  从 70 °C 的 54% 升至 200 °C 的 93%, 主要原因是 Hg<sup>0</sup> 的吸附以化学吸附为主, 较高的温度有利于 Hg<sup>0</sup> 的氧化。Fe<sub>3</sub>O<sub>4</sub>、Fe<sub>2</sub>O<sub>3</sub> 可促进 Hg<sup>0</sup> 的氧化<sup>[29,35-36]</sup>, VTS 中 Fe 物相主要以固溶体为主, Fe<sub>2</sub>O<sub>3</sub> 与 MgO、MnO、CaO 可形成固溶体铁镁相, 其中含有少量的 Fe<sub>3</sub>O<sub>4</sub>、Fe<sub>2</sub>O<sub>3</sub> 等多种矿物相<sup>[37]</sup>, 因而 VTS 中的 Fe<sub>3</sub>O<sub>4</sub>、Fe<sub>2</sub>O<sub>3</sub> 可能与 FeCl<sub>3</sub> 共同促进 Hg<sup>0</sup> 氧化吸附, 但具体过渡金属元素对 Hg<sup>0</sup> 吸附的影响还需深入研究。而经 FeCl<sub>3</sub> 浸渍改性的 FA/CaO, 其 Hg<sup>0</sup> 吸附特性与改性 FA/VTS 不尽相同, 表现为当温度从 70 °C 升至 120 °C 时, FA/CaO 的  $\eta$  随之升高, 但在 200 °C、20 min 时  $\eta$  又急剧降至 44%, 相当于 70 °C 吸附 20 min 的  $\eta$ , 这与半干法脱硫灰在高温下阻碍 Hg<sup>0</sup> 的吸附<sup>[16]</sup>、CaO 存在时高温下 Hg<sup>0</sup> 再次释放<sup>[38]</sup>的研究结果相一致。究其原因, 200 °C 时通过式(3)~(5)生成的 HgCl<sub>2</sub> 与游离 CaO 反应, 再次释放 Hg<sup>0</sup><sup>[38]</sup> 所致:

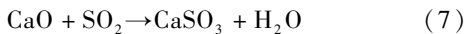


为进一步研究  $Q$  (吸附容量) 和  $Q_1$  (Hg<sup>2+</sup> 排出量), 将初始  $\rho(\text{Hg}^0)$  提高至 244.60 μg/m<sup>3</sup>,  $\varphi(\text{O}_2)$  为 6%, 在 200 °C 吸附 600 min 后, ICP-MS 分析  $Q_1$  并计算  $Q$ 。结果表明, FeCl<sub>3</sub> 浸渍改性 FA/VTS 的  $Q_1$  为 0.008 mg, 占入口 Hg<sup>0</sup> 的比例为 4.4%, 即 HgCl<sub>2</sub> 以气态排出量很低, 这与夹带流反应器中 HgCl<sub>2</sub> 在 150 °C 下吸附在颗粒物上而非气态排出<sup>[27]</sup>、褐煤燃烧喷射

HCl 后 Hg<sup>0</sup> 主要转化为颗粒态 HgCl<sub>2</sub><sup>[35]</sup> 的结论相一致;但与 350 ℃ 时 SCR 催化生成的 HgCl<sub>2</sub> 主要是气态<sup>[27]</sup>、亚烟煤燃烧喷射 HCl 后生成的 HgCl<sub>2</sub> 在 150 ℃ 时也以气态为主<sup>[35]</sup> 的成果不同。究其原因,是 350 ℃ 高温下 HgCl<sub>2</sub> 难以吸附在颗粒上<sup>[27]</sup>,而在 150 ℃ 低温下 HgCl<sub>2</sub> 的形态与飞灰特性相关<sup>[35]</sup>。结果表明,该试验中生成的 HgCl<sub>2</sub> 更易吸附在经 FeCl<sub>3</sub> 浸渍改性的 FA/VTS 吸附剂上,因而 HgCl<sub>2</sub> 的气态排出量很低。但以经 FeCl<sub>3</sub> 改性的 FA/CaO 为吸附剂时,其排气中未检出 Hg<sup>2+</sup>,主要原因是 HgCl<sub>2</sub> 经式(6)反应再次释放 Hg<sup>0</sup>,HgCl<sub>2</sub> 生成量较少,因而以气态排出的量就更少。计算经 FeCl<sub>3</sub> 浸渍改性 FA/VTS 和 FA/CaO 的 Q 分别为 0.42 和 0.04 mg/g,前者的 Q 与 (Fe<sub>2.7</sub>Ti<sub>0.3</sub>)<sub>1-δ</sub>O<sub>4</sub> (δ 为 Fe<sub>2.7</sub>Ti<sub>0.3</sub>O<sub>4</sub> 中 Fe<sup>2+</sup> 被完全氧化为 Fe<sup>3+</sup> 时的系数) 在空气气氛中、200 ℃ 下吸附 600 min 时的值 (0.48 mg/g)<sup>[29]</sup> 相当,但较 (Fe<sub>2</sub>Ti<sub>0.8</sub>Mn<sub>0.2</sub>)<sub>1-δ</sub>O<sub>4</sub> 在相同条件下的值 (4.42 mg/g)<sup>[29]</sup> 低<sup>[29]</sup>。虽然经 FeCl<sub>3</sub> 浸渍改性 FA/VTS 的 Q 低,但其原料易得且价格便宜,仍具有实际应用的潜势。

### 2.3 FeCl<sub>3</sub> 浸渍改性吸附剂吸附 Hg<sup>0</sup> 的抗硫特性

在 120 ℃ 下,经 FeCl<sub>3</sub> 浸渍改性的 FA/VTS、FA/CaO 在 ρ(SO<sub>2</sub>) 分别为 1 480、3 140 mg/m<sup>3</sup> 时的 Hg<sup>0</sup> 吸附特性如图 4 所示。由图 4 可知,模拟烟气中增加 SO<sub>2</sub> 可抑制 Hg<sup>0</sup> 的吸附,这与 SO<sub>2</sub> 抑制脱硝 SCR 催化氧化 Hg<sup>0</sup><sup>[28]</sup>、干法脱硫灰吸附 Hg<sup>0</sup><sup>[16]</sup>、FeCl<sub>3</sub> 浸渍改性 FA 氧化 Hg<sup>0</sup> 的研究结果<sup>[12]</sup> 相一致。SO<sub>2</sub> 抑制 Hg<sup>0</sup> 吸附的原因可能与其在吸附剂中与 Cl 竞争并占据活性点位有关。从图 4 可以看出,在相同 ρ(SO<sub>2</sub>) 下,经 FeCl<sub>3</sub> 浸渍改性的 FA/VTS 和 FA/CaO 相比,SO<sub>2</sub> 对前者抑制 Hg<sup>0</sup> 吸附作用弱。当 ρ(SO<sub>2</sub>) 为 3 140 mg/m<sup>3</sup>、吸附 60 min 时,FeCl<sub>3</sub> 浸渍改性 FA/VTS、FA/CaO 的 η 较无 SO<sub>2</sub> 时分别下降了 17.6% 和 35.7%,即经 FeCl<sub>3</sub> 浸渍改性的 FA/VTS 表现出较好的抗硫特性。究其原因,可能是 FA/VTS 中含有较高的 TiO<sub>2</sub>,阻止了 SO<sub>2</sub> 与活性组分反应;而 FA/CaO 中高含量的游离 CaO 与 SO<sub>2</sub> 发生式(6)~(7) 反应有关。



生成的 CaSO<sub>3</sub> 或 CaSO<sub>4</sub> 的摩尔体积较 CaO 的大,覆盖在经 FeCl<sub>3</sub> 浸渍改性的 FA/CaO 吸附剂表面,逐渐将吸附活性区域与气相中的 Hg<sup>0</sup> 隔离,从而降低了 Hg<sup>0</sup> 的吸附。

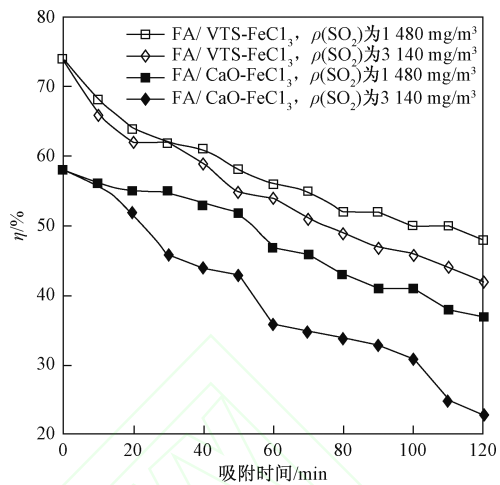


图 4 SO<sub>2</sub> 对 FeCl<sub>3</sub> 浸渍改性吸附剂对 Hg<sup>0</sup> 吸附效率的影响

Fig. 4 Effect of SO<sub>2</sub> on Hg<sup>0</sup> adsorption efficiency with adsorbents modified by FeCl<sub>3</sub>

### 2.4 HCl 对吸附剂吸附 Hg<sup>0</sup> 的影响

图 5 为 HCl 对吸附剂吸附 Hg<sup>0</sup> 的影响。对比图 2~5 可知,HCl 在 120 ℃ 下可显著促进 Hg<sup>0</sup> 的吸附。当 ρ(HCl) 为 30 mg/m<sup>3</sup>、吸附 60 min 时 FA/VTS 的 η 为 32%,显著高于无 HCl 条件(19%),这与 HCl 气体促进 Hg<sup>0</sup> 氧化吸附的结果<sup>[16,19,28]</sup> 相一致。研究<sup>[39]</sup> 表明,HCl 与 Hg<sup>0</sup> 的反应活化能高难以在低温下发生反应,只有在 400~700 ℃ 区间,HCl 才与 O<sub>2</sub> 生成活性 Cl<sup>\*</sup> 进而氧化 Hg<sup>0</sup>。但在该试验条件下,120 ℃ 时 HCl 仍然显著促进 Hg<sup>0</sup> 的吸附,可能与 VTS 中 Fe、Mn、V 等金属氧化物和 FeCl<sub>3</sub> 浸渍改性 FA/VTS 中 Fe<sup>3+</sup> 催化氧化有关,尤其是在相同条件下 VTS 较 FA/VTS 的 η 更高。从表 1 可知,VTS 中过渡金属氧化物含量显著高于 FA,烟气中 O<sub>2</sub> 与 HCl 反应生成活性 Cl<sup>\*</sup>,Cl<sup>\*</sup> 氧化 Hg<sup>0</sup> 形成 HgCl<sub>2</sub> 被吸附<sup>[40]</sup>,但 VTS 中具

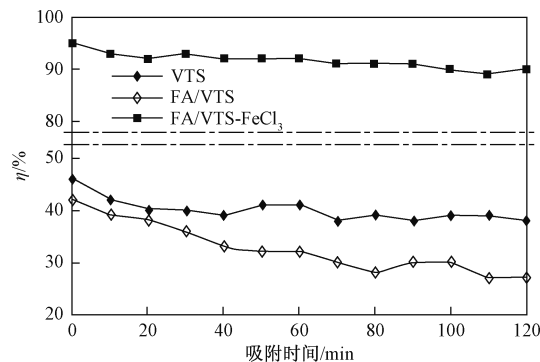


图 5 HCl 对吸附剂吸附 Hg<sup>0</sup> 的影响

Fig. 5 Effect of HCl on Hg<sup>0</sup> adsorption

体过渡金属元素对  $Hg^0$  吸附的影响,仍有待深入研究。

### 3 结论

a) FA/CaO 蒸汽活化后,比表面积增加了 0.81 倍,吸附 20 min 时其  $\eta$  较活化前增加 40%;但 FA/VTS 蒸汽活化后的比表面积、 $\eta$  增加并不显著。

b) 经  $FeCl_3$  浸渍改性的 FA/VTS 的  $\eta$  随温度升高而提高,200 °C 下吸附 20 min 时的  $\eta$  达到 93.0%,吸附 600 min 后的  $Q$  为 0.42 mg/g,是该研究中吸附  $Hg^0$ 、抗硫性能最好的吸附剂;而经  $FeCl_3$  浸渍改性的 FA/CaO,其  $\eta$  随温度先升后降,120 °C、吸附 20 min 时达到最高值(74%)。

c)  $SO_2$  抑制  $Hg^0$  吸附,但其对改性 FA/VTS 吸附  $Hg^0$  的抑制作用弱于 FA/CaO。当  $\rho(SO_2)$  为 3.140 mg/m<sup>3</sup>、吸附 60 min 时,改性 FA/VTS、FA/CaO 的  $\eta$  较无  $SO_2$  时分别下降了 17.6% 和 35.7%,即经  $FeCl_3$  浸渍改性的 FA/VTS 表现出了较好的抗硫特性。

d) 在 120 °C,  $\rho(HCl)$  为 30 mg/m<sup>3</sup> 条件下,吸附 60 min 时 VTS 的  $\eta$  较 FA/VTS 高 28.1%,这可能与 VTS 中 Fe、Ti、V 过渡金属氧化物含量较高,促进  $Hg^0$  氧化有关。

在后续研究中,应考虑改变钒钛钢渣中过渡金属元素组分含量,以期揭示具体金属元素对  $Hg^0$  吸附的影响。

### 参考文献(References):

- [1] UNEP. Global mercury assessment [S]. Geneva: UNEP Division of Technology, Industry and Economics, Chemicals Branch International Environment House, 2013:9-16.
- [2] 高炜,支国瑞,薛志钢,等.1980—2007 年我国燃煤大气汞、铅、砷排放趋势分析[J].环境科学研究,2013,26(8):822-828.
- GAO Wei, ZHI Guorui, XUE Zhigang, et al. Analysis of atmospheric emission trends of mercury, lead and arsenic from coal combustion in China from 1980-2007 [J]. Research of Environmental Sciences, 2013,26(8):822-828.
- [3] 支国瑞,薛志钢,李洋,等.基于国内实测燃煤电厂烟气汞排放估算的不确定度[J].环境科学研究,2013,26(8):814-821.
- ZHI Guorui, XUE Zhigang, LI Yang, et al. Uncertainty of flue gas mercury emissions from coal-fired power plants in China based on field measurements [J]. Research of Environmental Sciences, 2013,26(8):814-821.
- [4] FUENTE C A, DIAZ S M, LOPEZ A M A, et al. Biomass gasification chars for mercury capture from a simulated flue gas of coal combustion[J]. Journal of Environmental Management, 2012, 98:23-28.
- [5] FUENTE C A, LOPEZ A M A, DIAZ S M, et al. Retention of mercury by low-cost sorbents: influence of flue gas composition and fly ash occurrence [J]. Chemical Engineering Journal, 2012, 213: 16-21.
- [6] KLASSON K T, LIMA I M, BOIHEM J L L, et al. Feasibility of mercury removal from simulated flue gas by activated chars made from poultry manures [J]. Journal of Environmental Management, 2010, 91:2466-2470.
- [7] GRAYDON J W, ZHANG Xinzh, KIRK D W, et al. Sorption and stability of mercury on activated carbon for emission control [J]. Journal of Hazardous Materials, 2009, 168:978-982.
- [8] FENG Wenguo, BORGUET E, VIDIC R D. Sulfurization of a carbon surface for vapor phase mercury removal: I . effect of temperature and sulfurization protocol [J]. Carbon, 2006, 44:2990-2997.
- [9] FENG Wenguo, BORGUET E, VIDIC R D. Sulfurization of a carbon surface for vapor phase mercury removal: II . sulfur forms and mercury uptake [J]. Carbon, 2006, 44:2998-3004.
- [10] TAN Zengqiang, XIANG Jun, SU Sheng, et al. Enhanced capture of elemental mercury by bamboo-based sorbents [J]. Journal of Hazardous Materials, 2012, 239/240:160-166.
- [11] LEE S J, SEO Y C, JURNG J S, et al. Removal of gas-phase elemental mercury by iodine-and chlorine-impregnated activated carbons [J]. Atmospheric Environment, 2004, 38:4887-4893.
- [12] SHEN Zhemin, MA Jing, MEI Zhijian, et al. Metal chlorides loaded on activated carbon to capture elemental mercury [J]. Journal of Environmental Sciences, 2010, 22(11):1814-1819.
- [13] KARATZAL D, PRISCIANDARO M, LANCI A, et al. Silver impregnated carbon for adsorption and desorption of elemental mercury vapors [J]. Journal of Environmental Sciences, 2011, 23 (9):1578-1584.
- [14] IZQUIERDO M T, BALLESTERO D, JUAN R, et al. Tail-end Hg capture on Au/carbon-monolith regenerable sorbents [J]. Journal of Hazardous Materials, 2011, 193:304-310.
- [15] 张凡,王凡,刘宇,等.干法烟气脱硫副产物中汞的形态分布[J].环境科学研究,2011,24(1):73-78.
- ZHANG Fan, WANG Fan, LIU Yu, et al. Mercury speciation distribution in dry flue gas desulfurization byproduct [J]. Research of Environmental Sciences, 2011, 24(1):73-78.
- [16] WU Shaohua, WANG Shuai, GAO Jihui, et al. Interactions between mercury and dry FGD ash in simulated post combustion conditions [J]. Journal of Hazardous Materials, 2011, 188:391-398.
- [17] WANG Fan, WANG Hongmei, ZHANG Fan, et al.  $SO_2/Hg$  removal from flue gas by dry FGD [J]. International Journal of Mining Science and Technology, 2012, 22:107-110.
- [18] ZHAO Pengfei, GUO Xin, ZHENG Chuguang. Removal of elemental mercury by iodine-modified rice husk ash sorbents [J]. Journal of Environmental Sciences, 2010, 22(10):1629-1636.
- [19] 韩斌杰,岳涛,王凡,等.复合钙基吸收剂吸附烟气中汞的试验研究[J].环境科学研究,2013,26(9):929-934.
- HAN Binjie, YUE Tao, WANG Fan, et al. Experimental study on mercury absorbed from flue gas with Ca-based composite sorbent [J]. Reaearch of Envirmental Sciences, 2013, 26(9):929-934.
- [20] 刘海蛟. MCFB 烟气净化系统的多种污染物协同吸附研究 [D]. 杭州:浙江大学,2009.

- [21] 赵鹏飞. 固体吸附剂吸附燃煤烟气汞的实验与机理研究 [D]. 武汉:华中科技大学,2010.
- [22] 赵毅,刘松涛,马宵颖,等. 改性钙基吸附剂的汞吸附特性实验研究[J]. 中国电机工程学报,2009,29(8):50-54.  
ZHAO Yi, LIU Songtao, MA Xiaoying, et al. Experimental investigation on mercury adsorption characteristics by modified Ca-based sorbent [J]. China Socienses for Electrical Engineering, 2009,29(8):50-54.
- [23] XU Wenqing, WANG Hairui, ZHU Tingyu, et al. Mercury removal from coal combustion flue gas by modified fly ash [J]. Journal of Environmental Sciences, 2013,25(2):393-398.
- [24] WU Jiang, CAO Yan, PAN Weiguo, et al. Evaluation of mercury sorbents in a lab-scale multiphase flow reactor, a pilot-scale slipstream reactor and full-scale power plant [J]. Chemical Engineering Sciences, 2008,63:782-790.
- [25] 胡长兴,周劲松,何胜,等. 氯和灰分对大型燃煤锅炉烟气中汞形态的影响[J]. 动力工程,2008,28(6):945-948.  
HU Changxing, ZHOU Jinsong, HE Sheng, et al. Influence of chlorine and ash on flue gas mercury speciation of large scale coal-fired boilers [J]. Journal of Power Engering, 2008, 28 (6): 945-948.
- [26] 石应杰,都基峻,王红梅,等. 燃煤烟气喷射废水协同氧化元素汞试验研究[J]. 环境工程技术学报,2014,4(3):205-211.  
SHI Yingjie, DU Jijun, WANG Hongmei, et al. Study on co-oxidation of gaseous elemental mercury of coal-fired flue gas by wastewater injection [J]. Journal of Environmental Engineering Technology, 2014,4 (3):205-211.
- [27] ZHANG Ye, THOMPSON J S, ZYGARLICKE C J, et al. Impact of calcium chloride addition on mercury transformations and control in coal flue gas [J]. Fuel, 2007,86:2351-2359.
- [28] ZHANG Ye, LAUMB J, LIGGETT R, et al. Impacts of acid gases on mercury oxidation across SCR catalyst [J]. Fuel Processing Technology, 2007,88:929-934.
- [29] YANG Shijian, GUO Yongfu, YAN Naiqiang, et al. Remarkable effect of the incorporation of titanium on the catalytic activity and SO<sub>2</sub> poisoning resistance of magnetic Mn-Fe spinel for elemental mercury capture [J]. Applied Catalysis B: Environmental, 2011, 101:698-708.
- [30] WAN Qi, DUAN Lei, HE Kebin, et al. Removal of gaseous elemental mercury over a CeO<sub>2</sub>-WO<sub>3</sub>/TiO<sub>2</sub> nanocomposite in simulated coal-fired flue gas [J]. Chemical Engineering Journal, 2011,170:512-517.
- [31] ZHAO Lingkui, LI Caiting, ZHANG Jie, et al. Promotional effect of CeO<sub>2</sub> modified support on V<sub>2</sub>O<sub>5</sub>-WO<sub>3</sub>/TiO<sub>2</sub> catalyst for elemental mercury oxidation in simulated coal-fired flue gas [J]. Fuel, 2015, 153:361-369.
- [32] LI Hailong, LI Ying, WU Changyu, et al. Oxidation and capture of elemental mercury over SiO<sub>2</sub>-TiO<sub>2</sub>-V<sub>2</sub>O<sub>5</sub> catalysts in simulated low-rank coal combustion flue gas [J]. Chemical Engineering Journal, 2011,169:186-193.
- [33] ZHANG Anchao, ZHENG Wenwen, SONG Jun, et al. Cobalt manganese oxides modified titania catalysts for oxidation of elemental mercury at low flue gas temperature [J]. Chemical Engineering Journal, 2014,236:29-38.
- [34] LI Ying, MEUPHY P, WU Changyu. Removal of elemental mercury from simulated coal-combustion flue gas using a SiO<sub>2</sub>-TiO<sub>2</sub> nanocomposite [J]. Fuel Processing Technology, 2008 , 89 : 567-573.
- [35] GALBREATH K C, ZYGARLICKE C J, TIBBETTS J E, et al. effects of NO<sub>x</sub>,  $\alpha$ -Fe<sub>2</sub>O<sub>3</sub>,  $\gamma$ -Fe<sub>2</sub>O<sub>3</sub>, and HCl on mercury transformations in a 7 kW coal combustion system [J]. Fuel Processing Technology, 2004,86:429-448.
- [36] KONG Fanhai, QIU Jianrong, LIU Hao, et al. Catalytic oxidation of gas-phase elemental mercury by nano-Fe<sub>2</sub>O<sub>3</sub> [J]. Journal of Environmental Sciences, 2011,23(4):699-704.
- [37] 叶国华. 从含钒钢渣中提取 V<sub>2</sub>O<sub>5</sub> 的新工艺与机理研究 [D]. 昆明:昆明理工大学,2010:41-44.
- [38] HOCQUEL M, UNERBERGER S, HEIN K R G. Influence of temperature and HCl concentration on mercury speciation in the presence of calcium oxide (CaO) [J]. Chemical Engineering Technology, 2001,24:1267-1272.
- [39] SLIGER R N, KRAMLICH J C, MARINOV N M. Towards the development of a chemical kinetic model for the homogeneous oxidation of mercury by chlorine species [J]. Fuel Processing Technology, 2000,65/66:423-438.
- [40] PRESTO A A, GRANITE E J. Survey of catalysts for oxidation of mercury in flue gas [J]. Environmental Science & Technology, 2006,18(40):5601-5609.

(责任编辑:孙彩萍)